

アンボンドPCはりの変形・強度特性に関する2,3の考察

京都大学 正員 岡田 清
 立命館大学 正員 児島孝之
 京都大学 学生員 ○大石龍太郎

1.はじめに アンボンドPC鋼材を使用したPC部材が土木構造物にも利用されつつあるが、アンボンドPC部材は従来のグラウトを施したポストテンショニング式のPC部材と比較して、定着部の疲労曲げ耐力の低下、ひびわれ分散性等の問題があるとされており、変形性状もかなり異なるものと考えられる。本報告はアンボンドPC部材の変形・強度特性について実験および理論的両面から検討したものである。

2.実験概要 以下に示す4種類のはりについて静的曲げ荷実験を実施した。

①通常のポストテンショニング式のグラウトを施したはり(BoN), ②①のはりでグラウトを施さないもの(UING), ③ポリマー系樹脂を塗布したアンボンドPC鋼材を用いたはり(UN), ④③のはりで中央断面にノエッジひびわれを有するもの(ONC)。はりの寸法はひずみも $10 \times 20 \times 160 \text{ cm}$ であり、 $\phi 14 \text{ mm}$ のPC鋼棒(降伏応力 106 kg/mm^2 , 破断応力 114 kg/mm^2)を断面に偏心させ配置した($d=13.3 \text{ cm}$)。載荷は対称2点載荷(スパン 140 cm , せん断スパン 55 cm)とした。載荷時材令におけるコンクリートの圧縮強度, 引張強度; ヤング係数はそれぞれ $f_{cu}=52 \text{ kg/cm}^2$, $f_{tu}=29.4 \text{ kg/cm}^2$, $E_c=3.45 \times 10^5 \text{ kg/cm}^2$ である。各はりの有効緊張力 P_e , ひびわれ強度 P_{cr} , 最大耐力 P_u を表-1に示す。はり中央のひずみと荷重との関係を図-1に示す。

3.理論解析 アンボンドPCはりと付着のあるPCはりとの変形性状の相異は付着性状の相異によるものと考えられる。解析におけるはりはPC鋼棒とコンクリート間の付着に対してボンドリンクの概念を導入し, PCはりの変形解析を行なった。すなわちPCはりを図-1, 2に示すようなセグメントに分割する。このセグメントはコンクリート, PC鋼棒, ボンドリンクより成り立つており、コンクリートとPC鋼棒はセグメント端部でボンドリンクにより連結されている。コンクリートセグメントには工学的理論が適用できることとし、はり断面を図-3のように要素分割し、図-2, 3の記号を参考にするとコンクリートの剛性マトリックスは式(1)で表せり。同様にしてPC鋼棒, ボンドリンクの剛性マトリックスは式(2), (3)で表わすことが出来る。式(1), (2)中右端子2段目は有効アレストレスによる荷重である。図-4は解析に用いたコンクリートの応力-ひずみ曲線であり、曲線部分は2次放物線とした。PC鋼棒にはbi-linear型の応力-ひずみ関係を用いた。ボンドリンクのはね定数は付着なしとアーボンドPCはりの場合には $K_b=0$ とし、付着のある場合には付着応力とすべりの関係をbilinearとして、種々の付着強度について解析を行なった。非線形解析法は直接繰返し法によった。この場合載荷点の鉛直変位を漸増させ、各段階でスムーズ回の繰返しを行なった。解析結果の一例として荷重-下ゆみ曲線を図-5に示す。

4.実験結果および解析結果の検討 表-1に示したように今回の実験では有効緊張力がかなりばらつき、緊張力の測定方法によって異なるために、実験値間の比較は難しが

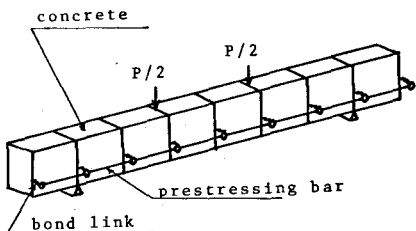


図-1 はりのモデル化

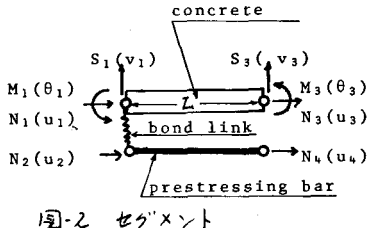


図-2 セグメント

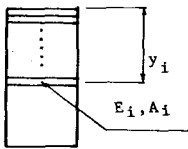


図-3 断面の要素分割

ひびわれ強度はいずれのはりもほぼ等しく、アンボンドはりは付着のあるはりよりも最大耐力がやや低い従来からの結果と一致した。一

すひびわれおよび最大耐力の理論値はアンボンドはりでは有効緊張力 $P_e = 17.0 \sim 21.0 t$ に対して $P_{cr} = 5.33 \sim 6.24 t$, $P_u = 8.81 \sim 9.39 t$ となる。付着のあるはりでは $P_e = 17.34 t$ とし、付着強度を $\tau_u = 50, 30, 10, 0 \text{ kg/cm}^2$ に対する理論値は各々 $P_{cr} = 5.62, 5.62, 5.62, 5.48 t$, $P_u = 9.43, 9.40, 8.99, 8.92 t$ となる。荷重～たわみ曲線(図-5)によると、アーボンドはりでは P_e によって

強度は変化するが、ひびわれ以後の曲線形状はあまり変化しない。一方付着のあるはりでは付着強度によつてひびわれ強度はほとんど変化しないが、曲線形状、最大耐力は変化し、実験曲線は $\tau_u \leq 10 \text{ kg/cm}^2$ の理論曲線と形状はよく一致するが、最大耐力は $\tau_u \geq 30 \text{ kg/cm}^2$ の理論値に一致した。最後に今回提案した解析方法は付着すべりの関係に検討を要するが、種々の変形・強度解析に通用し得るものと考えられる。

$$\begin{pmatrix} N_1 \\ S_1 \\ M_1 \\ N_3 \\ S_3 \\ M_3 \end{pmatrix} = \frac{1}{L^3 A_{11}} \begin{pmatrix} L^2 A_{11}^2 & & & & & \text{Symmetric} \\ 0 & 12(A_{11}A_{22}-A_{12}A_{21}) & & & & \\ L^2 A_{11}A_{12} & -6L(A_{11}A_{22}-A_{12}A_{21}) & L^2(4A_{11}A_{22}-3A_{12}A_{21}) & & & \\ -L^2 A_{11}^2 & & 0 & -L^2 A_{11}A_{12} & & \\ 0 & -12(A_{11}A_{22}-A_{12}A_{21}) & -6L(A_{11}A_{22}-A_{12}A_{21}) & & & \\ -L^2 A_{11}A_{12} & 6L(A_{11}A_{22}-A_{12}A_{21}) & L^2(2A_{11}A_{22}-3A_{12}A_{21}) & & & \end{pmatrix}$$

$$\begin{pmatrix} u_1 \\ v_1 \\ \theta_1 \\ u_3 \\ v_3 \\ \theta_3 \end{pmatrix} = \begin{pmatrix} N_{10} \\ S_{10} \\ M_{10} \\ N_{30} \\ S_{30} \\ M_{30} \end{pmatrix} \quad (1)$$

$$\begin{aligned} L^2 A_{11}^2 &= 12(A_{11}A_{22}-A_{12}A_{21}) \\ 0 &= 12(A_{11}A_{22}-A_{12}A_{21}) \\ L^2 A_{11}A_{12} &= -6L(A_{11}A_{22}-A_{12}A_{21}) = L^2(4A_{11}A_{22}-3A_{12}A_{21}) \\ \therefore L^2 &= A_{11} = \sum E_i A_i \quad A_{12} = A_{21} = -\sum E_i A_i (d-y_i) \quad A_{22} = \sum E_i A_i (d-y_i)^2 \\ \begin{pmatrix} N_2 \\ N_4 \end{pmatrix} &= \frac{E_p A_p}{L} \begin{pmatrix} 1 & -1 \\ -1 & 1 \end{pmatrix} \begin{pmatrix} u_2 \\ u_4 \end{pmatrix} + \begin{pmatrix} N_{20} \\ N_{40} \end{pmatrix} \quad (2) \quad \begin{pmatrix} N_1 \\ N_2 \end{pmatrix} = K_b \begin{pmatrix} 1 & -1 \\ -1 & 1 \end{pmatrix} \begin{pmatrix} u_1 \\ u_2 \end{pmatrix} \quad (3) \end{aligned}$$

表-1 P_e , P_{cr} および P_u

	P_e (t)	P_{cr} (t)	P_u (t)
	1	2	
BON-1	17.3	--	6.0
BON-2	17.3	--	5.8
UNNG-1	19.6	17.0	5.9
UNNG-2	20.7	18.0	5.9
UN-1	21.1	18.3	6.0
UN-2	19.6	17.2	5.9
UNC-1	20.8	17.3	(7.4)
UNC-2	20.0	17.5	(7.1)

注) 1. コンクリートのひびき幅は ϵ_{tu} 。
2. はり端部のロードセルは σ_{tu} 。

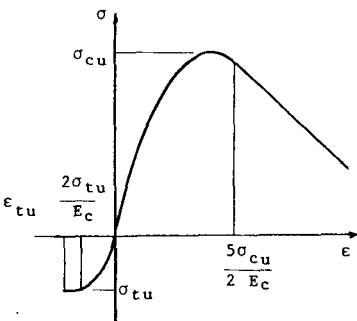


図-4 コンクリートの応力-ひずみ曲線

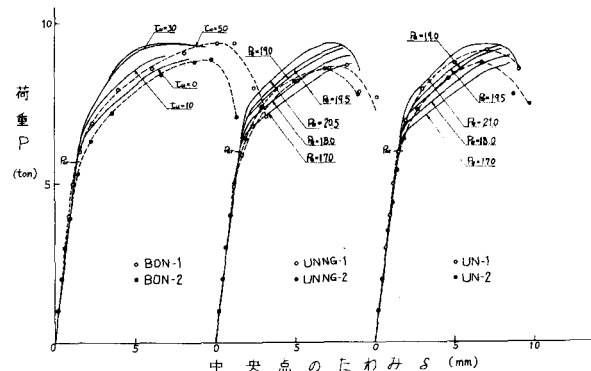


図-5 荷重～たわみ曲線

強度は変化するが、ひびわれ以後の曲線形状はあまり変化しない。一方付着のあるはりでは付着強度によつてひびわれ強度はほとんど変化しないが、曲線形状、最大耐力は変化し、実験曲線は $\tau_u \leq 10 \text{ kg/cm}^2$ の理論曲線と形状はよく一致するが、最大耐力は $\tau_u \geq 30 \text{ kg/cm}^2$ の理論値に一致した。最後に今回提案した解析方法は付着すべりの関係に検討を要するが、種々の変形・強度解析に通用し得るものと考えられる。